

همافزایی ترکیب لیپوزم گلایسیریزیک اسید و آلوم بر پاسخ‌های ایمنی علیه شکل کشته‌شده سالمونلا تیفی موریوم

زهرا زینالی^۱, سیدمیثم ابطحی فروشانی^{۲*}, عبدالغفار اونق^۳, اصغر زمانی^۴

تاریخ دریافت ۱۷/۰۵/۱۴۰۲ تاریخ پذیرش ۲۴/۰۵/۱۴۰۲

چکیده

پیش‌زمینه و هدف: شکل کشته‌شده میکروگانیسم‌ها در ترکیب با آلوم، عمدتاً پاسخ‌های ایمنی سلولی قوی ایجاد نمی‌کند. گلایسیریزیک اسید یک ساپونین تری‌ترپنوتئیدی با خواص تعدیل‌کننده ایمنی است. پژوهش حاضر به منظور بررسی همافزایی ترکیب لیپوزم گلایسیریزیک اسید (GL) و آلوم بر پاسخ‌های ایمنی علیه شکل کشته‌شده سالمونلا تیفی موریوم (HKST) صورت گرفته است.

مواد و روش کار: در این مطالعه تجربی موش‌های نر cBalb در ۵ گروه ۱۵ تابی با واکسن HKST به‌نهایی یا در ترکیب با آلوم، GL یا ترکیب آلوم-GL دو بار با فاصله دوهفت‌های ایمن شدند. ۱۴ روز پس از آخرین واکسیناسیون، پاسخ‌های ایمنی در برابر سالمونلا تیفی موریوم و توان محافظتی واکسن‌ها بررسی شد. میزان بقا توسط تحلیل کاپلان-مایر بررسی شد. سایر یافته‌ها با استفاده از آنالیز واریانس یک‌طرفه و آزمون تعقیبی توکی مورد بررسی قرار گرفت. سطح $P < 0.05$ به عنوان سطح معنی‌دار در نظر گرفته شد.

یافته‌ها: واکنش ازدیاد حساسیت نوع تأخیری، تکثیر لنفوسیتی، تیتر آنتی‌بادی IgG2a و میزان بهبود زنده‌مانی در برابر چالش با سالمونلا تیفی موریوم زنده در گروه دریافت‌کننده ادجوانت ترکیبی و HKST نسبت به سایر گروه‌ها به طور معنی‌داری افزایش یافته بود. در گروه دریافت‌کننده ادجوانت ترکیبی به طور معنی‌داری سطح γ -IFN و IL-4 به ترتیب افزایش و کاهش پیشتری نسبت به سایر گروه‌ها داشت.

بحث و نتیجه‌گیری: ترکیب آلوم-GL به عنوان یک ادجوانت به طور همافزایی ایمنی سلولی و هومورال را پس از ایمن‌سازی با واکسن HKST افزایش داد. **کلیدواژه‌ها:** ادجوانت، آلوم، سالمونلاتیفی موریوم، لیپوزم گلایسیریزیک اسید، واکسن

مجله مطالعات علوم پزشکی، دوره سی و چهارم، شماره ششم، ص ۳۰۸-۳۲۰، شهریور ۱۴۰۲

آدرس مکاتبه: گروه میکروبیولوژی، دانشکده دامپزشکی دانشگاه ارومیه، ارومیه، ایران، تلفن: ۰۹۱۳۳۰۰۴۷۰
Email: sm.abtahi@urmia.ac.ir

مقدمه

داخل سلول‌ها وارد عمل می‌شود (۲، ۳). در نگاه اول، به‌منظور ایجاد پاسخ‌های ایمنی سلولی مناسب در برابر میکروب‌های درون‌سلولی اختیاری یا اجباری، استفاده از نوعی از این میکروگانیسم‌ها با حدت ضعیف شده منطقی به نظر می‌رسد. با این حال، این شکل از میکروگانیسم‌های میکروگانیسمی در دسترس نیست. علاوه بر این، ترکیب اشکال کشته‌شده میکروگانیسم‌ها و ادجوانتهاي متداول از قبیل آلوم عمدتاً تنها پاسخ‌های ایمنی هومورال را ایجاد می‌کنند (۴-۶). بنابراین، یک راه حل مناسب،

اگرچه واکسن‌ها به طور قابل توجهی مرگ‌ومیر و عوارض ناشی از عوامل عفونی را در انسان و حیوانات کاهش داده‌اند، اما هیچ واکسن مناسبی علیه برخی از پاتوژن‌ها وجود ندارد. یک پاسخ ایمنی مناسب در برابر بیشتر پاتوژن‌ها شامل ترکیبی از پاسخ‌های ایمنی سلولی و هومورال است (۱، ۲). پاسخ هر دو بازوی ایمنی در عفونتهاي داخل سلولی مانند عفونتهاي سالمونلا لازم است. ایمنی هومورال مناسب از استقرار عفونت پیشگیری می‌کند، در حالی‌که ایمنی سلولی پس از استقرار عفونت و ورود میکروب به

^۱ دانشجوی دکترای ایمونولوژی، گروه میکروبیولوژی، دانشکده دامپزشکی دانشگاه ارومیه، ارومیه، ایران.

^۲ دانشیار ایمونولوژی، گروه میکروبیولوژی، دانشکده دامپزشکی دانشگاه ارومیه، ارومیه، ایران (نویسنده مسئول)

^۳ استاد میکروبیولوژی، گروه میکروبیولوژی، دانشکده دامپزشکی دانشگاه ارومیه، ارومیه، ایران

^۴ استادیار شیمی آلی، گروه نانوفناوری، دانشکده شیمی دانشگاه ارومیه، ارومیه، ایران

پایداری بالا، زیست تخریب پذیر بودن به همراه توانمندی تحریک پاسخهای ایمنی با واسطه هومورال و سلوی هستند (۱۴، ۱۵).

در این مطالعه به عنوان یک هدف فرعی، تأثیر لیپوزوم گلایسریزیک اسید (GL) بر پاسخهای ایمنی سلوی و هومورال بر موش‌های Balb/c این شده با شکل کشته شده سالمونلا تفی موریوم (HKST) سنجیده شد. همچنین به عنوان هدف اصلی تأثیر ترکیب آلوم و GL بر القای پاسخهای ایمنی سلوی و هومورال در پاسخ به موش‌های Balb/c در موش‌های HKST سنجیده شد.

مواد و روش کار

مواد: لیستین سویا، کلسترول، ساکاروز، محیط بلاد آگار، محیط کشت RPMI-1640، سرم جنین گاوی (FBS) و گلایسریزیک اسید از شرکت Biowest-آلمان خریداری شد. دی-متیل سولفوكساید (DMSO)، ۳-۴،۵-دی متیل تیازول-۲-ایل)-۲،۵-دی متیل تترازولیوم بروماید (MTT)، و ترشیوبوتیل الكل از شرکت MilliporeSigma - آلمان تهیه شد.

طراحی پژوهش و جامعه مورد مطالعه: این پژوهش از نوع تجربی بوده است که به صورت موردی-شاهدی انجام شده است. جامعه مورد مطالعه شامل موش‌های نر Balb/c شش تا هشت هفت‌های بود که از مرکز حیوانات دانشکده داروسازی دانشگاه ارومیه خریداری شده بودند. ملاحظات اخلاقی در مورد آزمایش بر روی حیوانات به دنبال کتواسیون هلسینیکی در نظر گرفته شد و این مطالعه توسط کمیته اخلاق دانشکده دامپزشکی دانشگاه ارومیه (کد IR-UU-AEC-3/5) تأیید شد.

پس از گذشت یک هفته جهت تطابق، موش‌ها به پنج گروه تقسیم شدند. هر گروه شامل ۲۵ موش بود. موش‌ها با حجم ۱۵۰ میکرولیتر، دو بار با فاصله ۱۴ روز به صورت زیر جلدی واکسینه شدند. تمام تزریقات زیر جلدی به روی پوست شل روی گردن طبق جدول زیر انجام شد.

جدول (۱): گروه‌بندی و تزریق شده هر گروه

گروه	آلوم	لیپوزوم حاوی گلایسریزیک (۲۰ mg/kg)	PBS1	باکتری کشته شده (۱۰ ^۶ CFU) به ازای هر موش)
کنترل	-	۲۵۰ µl	-	-
باکتری کشته شده (HKST)	۵۰ µl	۲۰۰ µl	-	-
آلوم + باکتری کشته شده (HKST/A)	۵۰ µl	۱۵۰ µl	-	-
لیپوزوم گلایسریزیک اسید + باکتری کشته شده (HKST/GL)	۵۰ µl	۱۵۰ µl	۵۰ µl	-
آلوم + لیپوزوم گلایسریزیک اسید + باکتری کشته شده (HKST/GL/A)	۵۰ µl	۱۵۰ µl	۵۰ µl	۵۰ µl

^۱ Phosphate-buffered saline

طراحی انواع جدیدی از ادجوانات است که در ترکیب با شکل کشته شده پاتوژن‌ها، یک پاسخ ایمنی سلوی نیز ایجاد کند.

بسیاری از ادجوانات‌هایی که در مدل‌های حیوانی ایمنی سلوی ایجاد کرده‌اند، برای انسان به دلیل سمیت یا قیمت فوق العاده بالا قابل استفاده نیستند. به عنوان مثال، استفاده از ادجوانات کامل فروند، به عنوان یکی از قوی‌ترین عوامل در تحریک ایمنی سلوی و پاسخهای Th1، به دلیل سمیت بالا، القای واکنش‌های مرتبط با درد شدید، تنها به استفاده در حیوانات آزمایشگاهی محدود شده است (۷، ۸). ساپونین‌ها گروه ناهمگنی از استرول و ترین گلیکوزیدها هستند که از طیف وسیعی از گیاهان جدا شده‌اند (۹). با توجه به اینکه ساپونین‌ها قدرت تحریک سیستم ایمنی حیوانات را دارند، علاوه زیادی نسبت به استفاده از آن‌ها به عنوان ادجوان ایجاد شده است (۱۰). گلایسریزیک اسید یا گلایسرین یک ساپونین تری‌ترینوئیدی استخراج شده از گیاه شیرین‌بیان هست. این ماده دارای خواص شناخته شده‌ای از قبیل اثرات بهبوددهنده رخ، ضد سرفه، ضدپریوس و القاگر تولید اینترفرون است (۱۱، ۱۰). ولی در استفاده از این ماده مشکلاتی از قبیل حلالیت کم وجود دارد. یکی از راهکارهای فائق آمدن بر این مسئله وارد کردن گلایسریزیک اسید به لیپوزوم جهت افزایش رسانش آن است (۱۰).

لیپوزوم‌ها و زیکول‌های دولایه‌ای هستند که پس از توزیع آمفی‌فیل‌ها (دوگانه دوست‌ها) در محیط‌های آبی به طور خودبه‌خود تشکیل می‌شوند. آمفی‌فیل‌ها عموماً فسفولیپید هستند و از رایج‌ترین اجزای آن فسفاتیدیل کولین و فسفاتیدیل گلیسرول هستند. مواد دیگری مانند کلسترول اغلب در فرمولاسیون گنجانده می‌شوند. ترکیبات آبدوست را می‌توان در داخل لیپوزوم به دام انداخت، در حالی که ترکیبات چربی دوست عموماً در غشاء لیپوزوم گنجانده می‌شوند (۱۲). لیپوزوم به دلیل استفاده بالقوه و واقعی خود در دارورسانی هدفمند شناخته شده‌اند (۱۳). علاوه بر این، به نظر می‌رسد لیپوزوم دارای مزایای بسیاری مانند ارزان قیمت بودن،

شد. سوسپانسیون سلولی جداسده با سرعت ۲۰۰۰ دور در دقیقه به مدت ۱۰ دقیقه سانتریفیوژ شد. سلولهای تک هسته‌ای با گرایدیان چگالی فایکول-هایپک جدا شدند. گلوبولهای قرمز خون توسط بافر لیز کننده ACK (کلرید آمونیوم ۱۵٪ /۰ مولار، بی کربنات پتاسیوم ۱٪ /۰ مولار، و اتیلن دی آمین تتراسات (EDTA) ۰/۰۱ مولار، شمارش RPMI-1640 ۵ درصد سرم جنین گاوی (FBS) بود. شمارش سلولهای زنده با استفاده از تریپان به لو صورت پذیرفت. هر چاهک با تعداد 4×10^4 سلول باکتری کشتهشده در ۱۰۰ میکرولیتر تحریک شد. تعداد سلول طحالی به باکتری بر اساس مطالعات قبلی انتخاب شده بود (۳،۱۷). پس از ۷۲ ساعت، ۲۵۰ میکرولیتر MTT (mg/ml) به هر چاهک اضافه شد و پس از چهار ساعت انکوباسیون در ۳۷ درجه، مایع رویی خارج و ۱۵۰ میکرولیتر DMSO به هر چاهک افزوده گردید. با پیپت کردن سریع، کریستالها حل شد. پلیت‌ها در طول موج ۵۷۰ نانومتر با الایزا ریدر خوانده شد. شاخص تکثیر با توجه به نسبت جذب سلولهای تحریکشده با HKST به جذب سلولهای طحال تحریک نشده گزارش شد. مبنای شمارش تعداد باکتری‌ها بر اساس سنجش میزان کدورت با استفاده از دستگاه اسپکتروفوتومتر (روش نیمه مک فارلند) است. عدد $10^{0.8}$ تا $10^{1.0}$ بیانگر تعداد $10^{1.0}$ باکتری بود (۳).

تعیین بار باکتریایی در کبد: دو هفته پس از آخرین ایمن‌سازی، پنج موش از هر گروه به صورت داخل صفاقی با 10^3 باکتری سالمونولا تیفی موریوم زنده (به عنوان دوز غیر کشنده) تلقیح شدند. موش‌ها ۴۸ ساعت بعد آسان کشی شدند و ۲۰ میلی‌گرم از بافت کبد هر موش به طور جداگانه برداشته شد و همگن شد. سپس ۱۰ میکرولیتر از رقت‌های مناسب از سلولهای کبد (به نسبت یک به ده در Triton X-100 (۰/۰۵ درصد)) به طور جداگانه روی صفحات سویا تربیتیکاز قرار داده شد و به مدت یک روز در دمای ۳۷ درجه سانتی گراد انکوبه شد. درنهایت، واحدهای تشکیل دهنده کلی (CFUs) شمارش شدند (۳).

ارزیابی درصد بقاء: دو هفته پس از آخرین ایمن‌سازی، ده موش از هر گروه به صورت داخل صفاقی با یکمیلیون باکتری زنده سالمونولا تیفی موریوم (به عنوان دوز کشنده) ایمن شدند. در این آزمون هدف اصلی سنجش میزان زنده ماندن موش‌ها پس از چالش با دوز کشنده باکتری بود. بنابراین تنها واقعه مرگ جهت ترسیم منحنی کاپلان مایر ثبت شد. بقا به مدت سه هفته مورد بررسی قرار گرفت (۳).

ارزیابی میزان IL-4 و IFN-γ در مایع رویی حاصل از کشت سلولهای طحالی: پس از ۴۸ ساعت کشت سلولهای

تهیه شکل کشتهشده باکتری سالمونولا تیفی موریوم (HKST): سوش استاندارد باکتری سالمونولا تیفی موریوم از کلکسیون باکتریایی آزمایشگاه بهداشت مواد غذایی دانشگاه ارومیه (ATCC14028) به مدت یک شبانه روز در محیط بلاد آگار در ۳۷ درجه سانتی گراد کشت داده شد. کلئی‌های باکتری برداشته شده و ۳ بار در PBS شسته شد و سپس در 80°C به مدت ۲ ساعت انکوبه گردید. پس از اطمینان عدم رشد باکتری‌ها، در محیط بلاد آگار، غلظت سوسپانسیون باکتری به روش نیمه مک فارنند مشخص شد (۳).

تهیه میسل‌های حاوی اسید گلایسریزیک (GA): ساخت لیپوزوم به روش Dehydration/Rehydration صورت گرفت. برای این منظور دو فاز آبی و آبی به صورت جداگانه تهیه و به صورت زیر مخلوط شدند (نسبت حجمی فاز آلی: آبی = ۴۵:۵۵) تا محلول یکنواخت با حجم نهایی به دست آید. ۷/۴ میلی‌لیتر: فاز آلی: ۴۰ میلی‌گرم لسیتین سویا (SPC) ۱۰ میلی‌گرم کلسترول در حجم ۶/۲ میلی‌لیتر ترشیو بوتیل الکل در دمای ۴۵ درجه سانتی گراد حل شد. فاز آبی: پنج میلی‌گرم GA و ۱۲۰ میلی‌گرم ساکارز در ۲/۱ میلی‌لیتر آب دیونیزه در دمای ۴۵ درجه سانتی گراد حل شد. محلول به دست آمده لیوفیلیز شده و پودر سفیدرنگی به دست آمد و مجدداً در ۴/۷ میلی‌لیتر آب دیونیزه شده در دمای ۶۵ درجه سانتی گراد برآورده شد (۱۰).

ارزیابی حساسیت از دیاباد نوع تأخیری (DTH): روز پس از آخرین ایمن‌سازی، تعداد یکمیلیون باکتری کشتهشده سالمونولا تیفی موریوم به صورت زیر جلدی به بالشک کفپایی سمت چپ ۵ موش از هر گروه تزریق شد. همان حجم نرمال سالین به عنوان کنترل منفی به کف پای راست هر موش تزریق شد. پس از ۴۸ ساعت، ضخامت بالشک پا توسط کولیس دیجیتال بررسی شد.

میزان DTH بر اساس این فرمول محاسبه شد:

[ضخامت پای چپ) / ۱۰۰ * [ضخامت پای چپ] – [ضخامت پای راست)]

ارزیابی‌های ایمونولوژیک: روز پس از آخرین ایمن‌سازی، پنج موش در هر گروه با استفاده تزریق داخل صفاقی کتابمین (۱۰ mg/kg) و زایلزین (۱۰ mg/kg) تحت بیهوشی عمیق قرار گرفتند. ابتدا از موش‌های و همچنین موش‌های گروه شاهد نمونه خون گرفته شد و سرم آن‌ها جدا شد. تیتر اختصاصی IgG در برابر ELISA و نسبت IgG2b/IgG1 سپس با استفاده از روش HKST طبق روش کاری که در گذشته شرح شده، بررسی شد (۳).

تست تکثیر لنفوسيتی: بعد از خون‌گیری اقدام به خارج‌سازی طحال از موش‌ها در شرایط آسپتیک گردید. هر نمونه طحال لهشده و از یک شبکه سیمی به قطر ۲۰ میکرومتر عبور داده

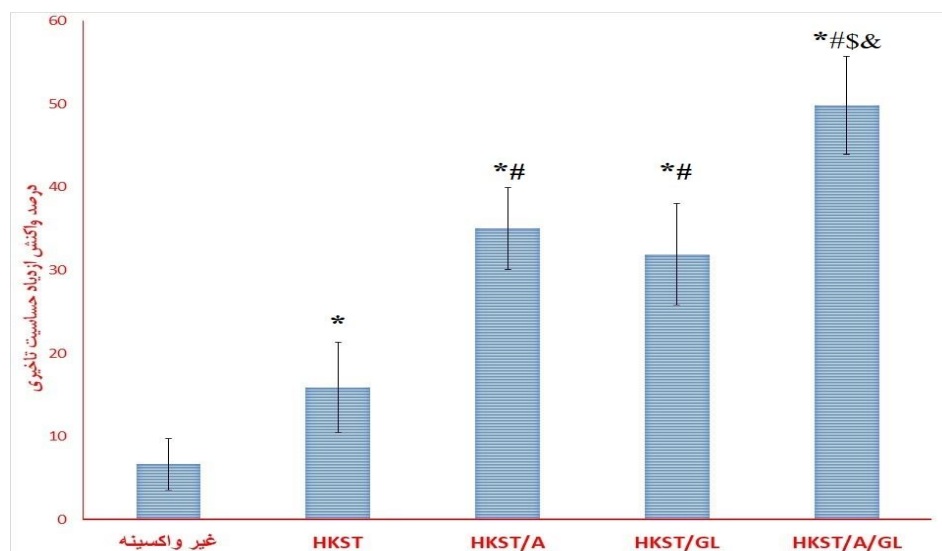
HKST/GL/A در مقایسه با سایر گروه‌ها مشاهده شد. به طور متوسط، افزایش $3/14$ برابری در شدت این واکنش در موش‌های HKST در مقایسه با گروهی که HKST و اکسینه شده با A در HKST/GL/A در مقایسه با گروهی که دریافت کردند، مشاهده شد (نمودار ۱). این واکنش در گروه‌های DTH و HKST/GL و HKST/A در مقایسه با واکنش در گروه‌های HKST و بدون بیشتر بود (نمودار ۱). میانگین افزایش واکنش DTH در موش‌های و اکسینه شده با HKST/A یا HKST/GL به ترتیب $2/2$ برابر و $2/0/1$ برابر بیشتر از گروه HKST بود. بر اساس یافته‌ها، تفاوت معنی‌داری بین گروه‌های A و HKST/A و HKST/GL وجود نداشت (نمودار ۱).

طحالی در دمای 37 و 5% درصد CO₂ مایع رویی برداشت و برای سنجش این سایت‌وکائین‌ها به روش الایزا با کیت‌های شرکت Bendermed انگلستان و طبق دستورالعمل کیت انجام شد (۳).

روش‌های ارزیابی آماری: میزان بقا توسط تجزیه‌وتحلیل کاپلان-مایر بررسی شد. سایر یافته‌ها با استفاده از آنالیز واریانس یک‌طرفه (ANOVA) و پس از آن آزمون تعقیبی توکی مورد تجزیه‌وتحلیل قرار گرفت. سطح معنی‌داری پنج درصد تعیین شد. تمامی نتایج به صورت میانگین \pm انحراف معیار گزارش شد.

یافته‌ها

بیشترین شدت واکنش DTH در گروه دریافت‌کننده



نمودار (۱): اثرات استفاده از ادواجنت‌ها بر روی برو واکنش DTH.

× نشان‌دهنده اختلاف تفاوت معنی‌دار در سطح $P<0/05$ نسبت به گروه غیر واکسینه است. # نشان‌دهنده اختلاف تفاوت معنی‌دار در سطح $P<0/05$ نسبت به گروه HKST است. \$. نشان‌دهنده اختلاف تفاوت معنی‌دار در سطح $P<0/05$ نسبت به گروه HKST/A است. \$. نشان‌دهنده اختلاف تفاوت معنی‌دار در سطح $P<0/05$ نسبت به گروه HKST/GL است. (باکتری کشته‌شده، A: باکتری کشته‌شده + آلوم، HKST/GL: باکتری کشته‌شده + لیپوزوم و HKST/GL/A: باکتری کشته‌شده + آلوم + لیپوزوم).

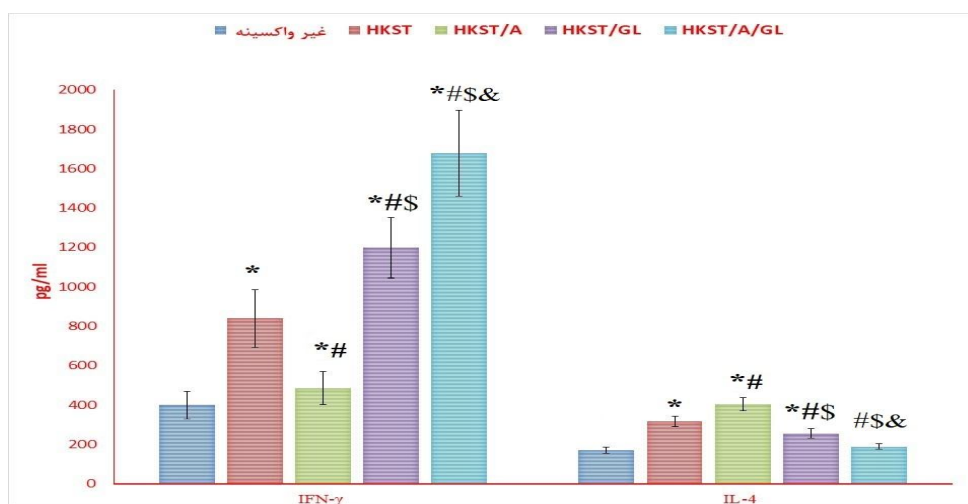
دریافت کردند، بالاتر بود. بیان γ -IFN در سلول‌های طحال موش‌ای که تنها با HSKT واکسینه شده بودند به طور معنی‌داری بیشتر از موش‌های گروه HKST/A یا گروه بدون واکسن بود (نمودار ۲-الف).

تولید IL-4 در سوب رویی سلول‌های طحالی موش‌های تحت تیمار شده با A در مقایسه با گروه‌های دیگر به طور معنی‌داری بیشتر بود (نمودار ۲-ب). بیان IL-4 در سلول‌های طحال موش‌ای که HKST را به تنهایی دریافت کردند در مقایسه با

همان طور که در نمودار ۲-الف نشان داده شده است، بالاترین تولید γ -IFN در سوب رویی سلول‌های طحال موش‌ای که HKST/GL/A دریافت کرده بودند، مشاهده شد. بداین ترتیب، در گروه دریافت‌کننده ادجوانات ترکیبی، افزایش 2 برابری در تولید γ -IFN در مقایسه با گروهی که تنها با HSKT واکسینه شده بودند، مشاهده شد (نمودار ۲). میزان γ -IFN در سوب سلول‌های طحال موش‌های واکسینه شده با HKST/GL در مقایسه با سلول‌های طحال موش‌ای که A، HKST/A، HSKT یا موش‌های کنترل

ترکیبی با گروه بدون واکسن تفاوت معنی‌داری نداشت (نمودار ۲-ب).

سلول‌های طحال موش‌هایی که با A/G HKST یا با HKST/A بودند، بیشتر بود (نمودار ۲-ب). میزان تولید IL-4 در واکسینه شده بودند، بیشتر بود (نمودار ۲-ب).

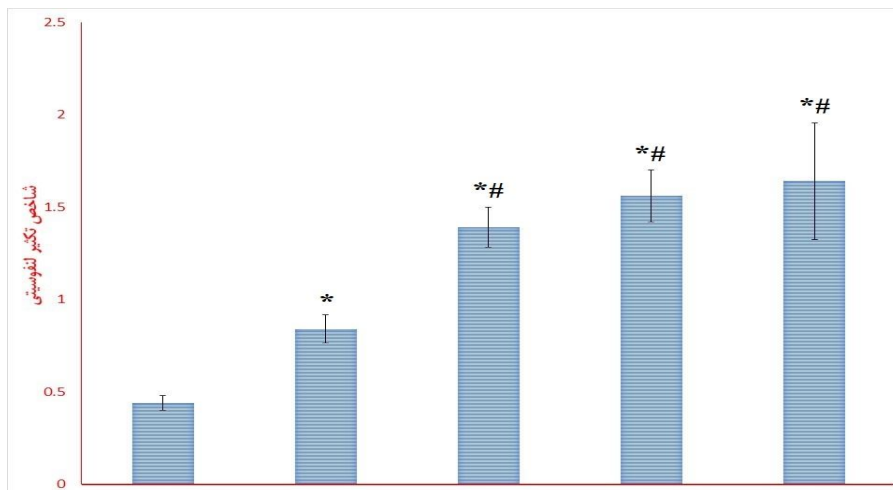


نمودار (۲): اثرات استفاده از ادوات جنتها بر روی بر میزان تولید سایتوکاین‌های γ -IFN (الف) و ب) در سوب رویی کشت سلول‌های طحالی

× نشان‌دهنده اختلاف تفاوت معنی‌دار در سطح $P<0.05$ نسبت به گروه غیر واکسینه است. # نشان‌دهنده اختلاف تفاوت معنی‌دار در سطح $P<0.05$ نسبت به گروه HKST است. \$. نشان‌دهنده اختلاف تفاوت معنی‌دار در سطح $P<0.05$ نسبت به گروه HKST/A است. \$. نشان‌دهنده اختلاف تفاوت معنی‌دار در سطح $P<0.05$ نسبت به گروه HKST/GL است. (باکتری کشتهشده، A: باکتری کشتهشده + آلوم، .HKST/GL/A: باکتری کشتهشده + لیپوزوم و .HKST/GL: باکتری کشتهشده + آلوم + لیپوزوم).

دنبال آن گروه‌های GL و HKST/A به‌طور معنی‌داری بیشتر از گروه دریافت‌کننده HKST بود. هرچند که بین سه گروه اخیر تفاوت معنی‌داری وجود نداشت (نمودار ۳).

تفاوت معنی‌داری در شدت تکثیر لنفوسيت‌های طحالی بین گروه‌های بدون واکسن و دریافت‌کننده HKST وجود داشت (نمودار ۳). شدت تکثیر لنفوسيت‌های طحالی در گروه HKST/GL/A و به

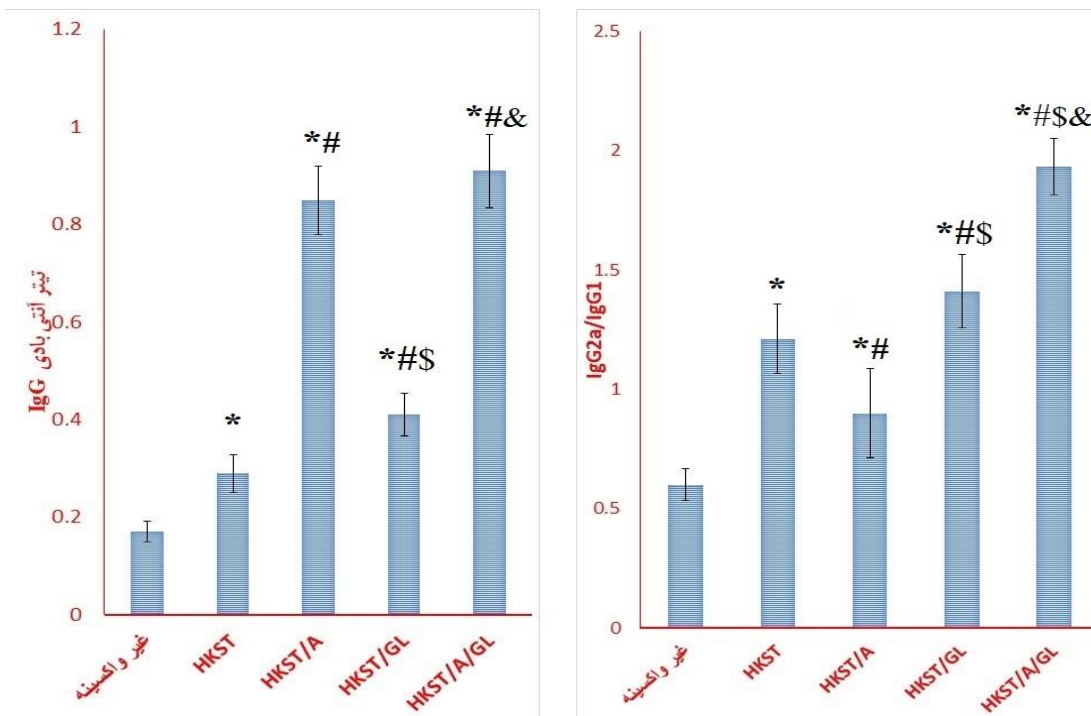


نمودار (۳): تأثیر ادوات جنتها بر روی شدت تکثیر لنفوسيت‌های طحالی

نیازمند اختلاف تفاوت معنی دار در سطح $P < 0.05$ نسبت به گروه غیر واکسینه است. # نیازمند اختلاف تفاوت معنی دار در سطح $P < 0.05$ نسبت به گروه HKST است. \$ نیازمند اختلاف تفاوت معنی دار در سطح $P < 0.05$ نسبت به گروه HKST/A است. HKST/A باکتری کشته شده + آلوم، اختلاف تفاوت معنی دار در سطح $P < 0.05$ نسبت به گروه HKST/GL است. (باکتری کشته شده، HKST/A: باکتری کشته شده + آلوم، HKST/GL: باکتری کشته شده + لیپوزوم و HKST/GL/A: باکتری کشته شده + آلوم + لیپوزوم).

IgG2b/IgG1 در موش هایی که با HKST/GL/A واکسینه شده بودند در مقایسه با حیواناتی که با پروتکل های دیگر واکسینه شده بودند به طور معنی داری بالاتر بود. موش های گروه HKST/GL نسبت به گروه HKST/GL/A به طور معنی داری در مقایسه موش های دریافت کننده HKST/A و کنترل بیشتر بود (نمودار ۴). به طور معنی داری نسبت به گروه HKST/A در موش هایی که با HKST/A واکسینه شدند پایین تر از این نسبت در حیواناتی که تنها HKST دریافت کردند، بود (نمودار ۴).

از نظر تیترهای IgG اختصاصی علیه HKST، گروهی که HKST/GL/A و یا HKST را دریافت کردند، بالاترین تیترها را در مقایسه با گروه های دیگر داشتند (نمودار ۴). تیتر آنتی بادی در گروه HKST/GL در مقایسه با موش هایی که با HKST یا گروه های کنترل دریافت کردند، بالاتر بود. با این حال، به طور معنی داری از گروه های دریافت کننده شکل کشته شده و آلوم و گروه دریافت کننده شکل کشته شده و ادجوان ترکیبی کمتر بود (نمودار ۴). همان طور که در نمودار ۴ گزارش شده است، نسبت

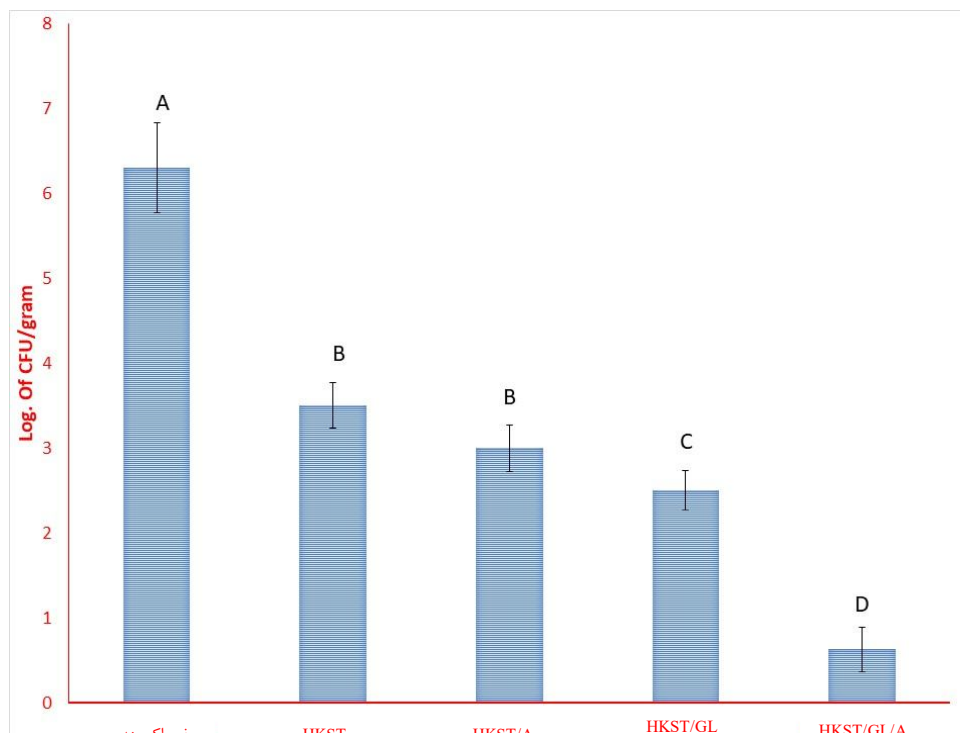


نمودار (۴): اثرات واکسیناسیون بر پاسخ آنتی بادی

سمت چپ) میانگین سطح سرمی IgG در برابر HKST، سمت راست) ارزیابی نسبت IgG2b/IgG1. # نیازمند اختلاف تفاوت معنی دار در سطح $P < 0.05$ نسبت به گروه غیر واکسینه است. \$ نیازمند اختلاف تفاوت معنی دار در سطح $P < 0.05$ نسبت به گروه HKST است. HKST/A باکتری کشته شده + آلوم، HKST/GL: باکتری کشته شده + آلوم + لیپوزوم و HKST/GL/A: باکتری کشته شده + آلوم + لیپوزوم.

HKST دریافت کردند، مشاهده شد. همان‌طور که انتظار می‌رفت، بیشترین تعداد کلینی‌های باکتریایی در گروهی که واکسینه نشده بودند مشاهده شد. علاوه بر این، بار باکتریایی در گروه HKST/GL/A به طور معنی‌داری کمتر از گروه آلوم HKST بود. البته بار باکتریایی در گروههای HKST/GL و HKST/A به طور قابل توجهی کمتر از گروههای HKST و کنترل بود (نمودار ۵).

HKST/GL/A کشت کبدهای هموزن شده از موش‌هایی که دریافت کرده بودند نشان داد که میانگین تعداد کلینی‌های باکتریایی به‌طور قابل توجهی کمتر از میانگین تعداد کلینی‌های باکتریایی ثبت‌شده از گروههای دیگر است (نمودار ۵). به‌طور متوسط، یک کاهش ۸۲ درصدی در میانگین تعداد کلینی‌های باکتریایی در موش‌های واکسینه شده با HKST/GL/A در مقایسه با گروهی که

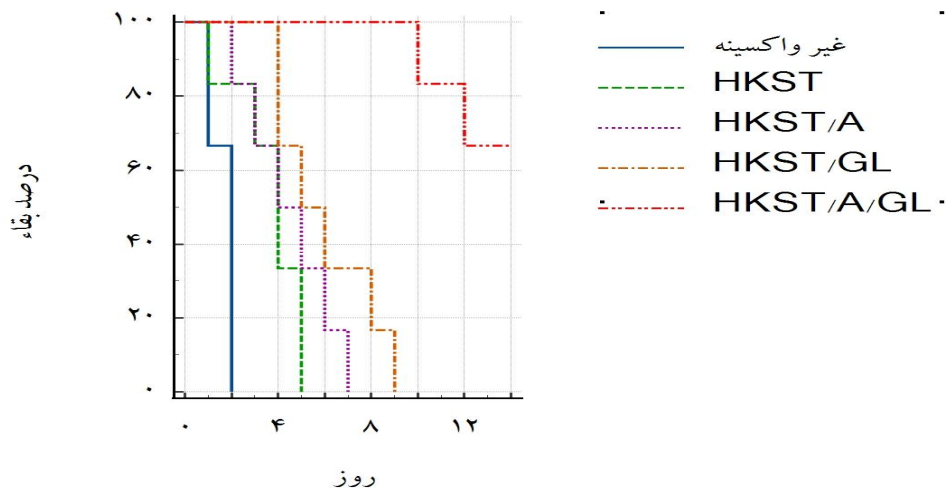


نمودار (۵): میزان بار باکتریایی در طحال موش‌های واکسینه شده

نیازمند اختلاف تفاوت معنی‌دار در سطح $P < 0.05$ نسبت به گروه غیر واکسینه است. # نیازمند اختلاف تفاوت معنی‌دار در سطح $P < 0.05$ نسبت به گروه HKST است. \$. نیازمند اختلاف تفاوت معنی‌دار در سطح $P < 0.05$ نسبت به گروه HKST/A است. \$ نیازمند اختلاف تفاوت معنی‌دار در سطح $P < 0.05$ نسبت به گروه GL است. (باکتری کشتهشده + آلوم، باکتری کشتهشده + لیپوزوم و GL/A: باکتری کشتهشده + آلوم + لیپوزوم).

هفته دوم پس از تلقیح با باکتری‌های زنده در دور کشنده زنده بودند (نمودار ۶). تنها یک موش در گروه دریافت‌کننده آلوم و شکل کشتهشده باکتری توانست که یک هفته زنده بماند. تمام موش‌های گروه HKST پس از چالش با باکتری زنده تا روز ۵ تلف شدند. این عدد برای موش‌های گروه غیر واکسینه تنها دو روز بود (نمودار ۶).

همان‌طور که انتظار می‌رفت، با توجه به نتایج ذکر شده در بالا، بیشترین درصد بقای موش‌ها پس از دریافت دوز کشنده S. *typhimurium* زنده متعلق به گروه HKST/GL/A بود (نمودار ۶). در این گروه پس از سه هفته ۶۷ درصد موش‌ها زنده بودند. در گروه دریافت‌کننده واکسن‌های GL هیچ کدام از موش‌ها طی

نمودار (۶): میزان بقای موش‌ها پس از چالش با *S. typhimurium* زنده

حروف مختلف نشان‌دهنده تفاوت معنی‌دار در سطح $P < 0.05$ است (باکتری کشته‌شده، HKST/A: باکتری کشته‌شده + آلوم، HKST/GL: باکتری کشته‌شده + لیپوزوم و HKST/GL/A: باکتری کشته‌شده + آلوم + لیپوزوم).

درگذشته نشان داده شده است که سلول‌های دندربیتیک تیمار شده با گلایسریزیک اسید قادر به تأثیرگذاری بر تمایز سلول‌های T به سمت زیرمجموعه Th1 و درنتیجه ایجاد پاسخ‌های ایمنی سلولی بودند. علاوه بر این، گلایسریزیک اسید قادر به مسدود کردن سنتر پروستاگلاندین-2 از طریق مسدود کردن سیکلواکسیزناز-۲ است که منجر به افزایش همزمان تولید اکسید نیتریک از طریق افزایش iNOS² در ماکروفازهای آلوده به لیشمانیا می‌شود. به بیان ژن *TNF-β* از سلول‌های طحال موش‌های آلوده به لیشمانیا عبارتی گلایسریزیک اسید منجر به تقویت قدرت عملکردی ماکروفازها می‌گردد. از سوی دیگر، Bhattacharjee و همکاران، نشان داد که گلایسریزیک اسید قادر به مسدود کردن بیان *Th2*, *JL-10* و *CD40* از سلول‌های طحال موش‌های آلوده به لیشمانیا است. همچنین گزارش داده شده است که گلایسریزیک اسید در موش موجب بلوغ DC³ را تقویت کند و این فعالیت ادجوانی مانند ممکن است ارزش درمانی بالقوه به دلیل افزایش بیان *CD86*, *CD80*, *CD40*, *CD83* و کمپلکس اصلی سازگاری بافتی نوع II (MHC II) داشته باشد. همان‌طور که در مقدمه تشریح شده به دلیل حلالیت کم و اثرات جانبی گلایسریزیک اسید، وارد کردن این ترکیب در یک فرم لیپوزومی منطقی است. لیپوزوم‌ها منجر به

بحث و نتیجه‌گیری

دلیل اصلی استفاده از ادجوانات‌ها در واکسن‌های کشته‌شده فراهم آوردن آزادسازی تدریجی آنتی‌زن‌ها و بیان مولکول‌های تحریک‌کننده مانند CD80 و CD86 توسط سلول‌های ارائه‌دهنده آنتی‌زن ۱ (APC) ها (شامل سلول‌های دندربیتیک، لنفوسيت‌های B و ماکروفازها و نیز هدایت تولید سایتوکائین‌های پلاریزه کننده پاسخ‌های ایمنی توسط APC ها است (۱۷، ۲). منطق درمان ترکیبی برای کنترل بیماری‌های پیچیده مبتنی بر استفاده از دو یا چند دارو با مکانیسم‌های درمانی متفاوت است (۱۸، ۱۹). بدیهی است که ترکیب ادجوانات‌ها برای دستیابی به هم‌افزایی و حصول نتیجه مناسب‌تر هم به همان منطق نیاز دارد. آلوم (سولفات آلومینیوم پتابسیم) از سال ۱۹۲۰ به عنوان پرصرافت‌ترین ادجوان شناخته‌شده است (۲۰). علاوه بر خاصیت ذخیره‌کنندگی و آزادسازی بطئی آنتی‌زن، آلوم از طریق القای اینفلامازم ۲ توسط ماکروفازهای بافتی موجب القای سایتوکائین و کموکائین‌هایی خواهد شد که درنهایت منجر به تجمع، بلوغ و مهاجرت APC ها پس از برداشت آنتی‌زن می‌گردد (۲۱، ۲۰، ۱۷). درمجموع، آلوم یک پاسخ Th2 را القا می‌کند (۲۰، ۳).

² Inflammasome

³ antigen-presenting

تأثیرگذاری بر تمایز سلول‌های T به سمت زیرمجموعه Th1 بوده‌اند (۲۴). بر این اساس، داده‌های حاضر نشان داد که تحریک ex vivo سلول‌های طحال موش‌هایی که HKST و آلوم دریافت کردند، منجر به بیان بالاتر mRNA IL-4 در مقایسه با سایر گروه‌ها شد. بر عکس، تحریک ex vivo سلول‌های طحال موش‌هایی که HKST و ترکیب از آلوم و لیپوزم گلایسریزیک اسید دریافت کردند، منجر به بیان بالاتر mRNA γ-IFN در مقایسه با گروه‌های دیگر شد. مرتبه دوم بیان mRNA IFN-γ مربوط به اسپلنوسیت سلول‌های طحالی موش‌هایی است که HKST و لیپوزوم‌های گلایسریزیک اسید دریافت کردند.

لنفوسيت‌های T مسئول تولید آنتی‌بادی‌های با تیتر بالا از IgG هستند (۲۵، ۲۶). هر دو پاسخ‌های Th1 و Th2 در ایجاد پاسخ مؤثر ضد آنتی‌بادی مؤثر هستند (۲۶، ۲۷). با این حال، ایزوتیپ‌های آنتی‌بادی تولید شده در طول پاسخ‌های Th1، پتانسیل اپسونیزاسیون و قدرت فعال‌سازی مکمل قوی‌تری نسبت به آنتی‌بادی‌های تولید شده در طی پاسخ‌های Th2 دارند (۲۷). با توجه به موارد فوق، ایجاد پاسخ Th1 برای کنترل عفونت مانند عفونت سالمونولا اهمیت بیشتری دارد. در موش‌ها، γ-IFN-تولید شده توسط سلول‌های Th1 از سوئچ ایزوتیپ IgG2a پشتیبانی می‌کند، در حالی که IL-4 تولید شده توسط سلول‌های Th2 از سوئچ ایزوتیپ IgG1 پشتیبانی می‌کند (۲۸). تجزیه و تحلیل نتایج تحقیقات ما نشان داد که بیشترین نسبت آنتی‌بادی IgG به IgG1 در گروهی که HKST و ادجوانات ترکیبی دریافت کردند مشاهده شد. در این راستا، حیواناتی که HKST را با آلوم تجویز کردند، نسبت IgG2b/IgG1 مشترک در مقایسه با نسبت‌های مشاهده شده در موش‌هایی که HKST و لیپوزم گلایسریزیک اسید دریافت کردند، داشتند. این نتایج کاملاً مطابق با نتایج تجزیه و تحلیل انجام شده در مورد بیان mRNA γ-IFN-IL-4 بود.

سنجهش واکنش حساسیت تأخیری (DTH) یکی از رایج‌ترین روش‌ها برای ارزیابی پاسخهای ایمنی سلولی در برابر یک آنتی‌زن خاص است. بازیگران اصلی در واکنش DTH و ماکروفازها هستند. نتایج این سنجهش با نتایج مربوط به پلاریزاسیون و بقای T-helper مطابقت داشت و بهترین نتایج در موش‌های دریافت‌کننده HKST و ادجوانات‌های ترکیبی مشاهده شد. ارزیابی تکثیر لنفوسيت اختصاصی S. typhimurium روشن دیگری بود که برای ارزیابی ایمنی سلولی در مطالعه حاضر مورد استفاده قرار گرفت. در اینجا، نتایج همچنین یک همافرازی بین آلوم و لیپوزوم اسید گلایسریزیک را در افزایش پاسخ‌های ایمنی ناشی از واکسن HKST نشان می‌دهد.

رسانش مؤثر گلایسریزیک اسید به سلول‌های عرضه‌کننده آنتی‌زن می‌گردد (۱۰).

نتایج پژوهش حاضر به‌وضوح نشان داد که لیپوزم گلایسریزیک اسید موجب تقویت پاسخ‌ها به سمت پاسخ‌های ایمنی سلولی در مقایسه با آلوم می‌گردد. مهم‌تر از آن، ترکیب آلوم و لیپوزم گلایسریزیک اسید پاسخ‌های قوی‌تر Th1 را الفا کرد و به‌طور هم‌زمان ایمنی سلولی و ایمنی هومورال را تقویت کرد. نتایج پژوهش‌های قبلی نشان داده است که می‌توان پاسخ‌های ایمنی واکسن S. typhimurium را از طریق مخلوط متولکلوبرامید-آلوم، آلوم-نانوکسون یا مخلوط پروپرتوکلول-آلوم به‌عنوان کمک‌های واکسن تقویت کرد (۱۶). نتایج تحقیق حاضر در رابطه با مزایای لیپوزم اسید گلایسریزیک به‌عنوان یک ادجوانات همراه با شواهد قبلی در مورد فعالیت کمکی پروپرتوکلول و نانوکسان حاکی از آن است که ریزمحیط در زمان تشکیل پاسخ‌های ایمنی نقش اساسی در سرنوشت پاسخ ایمنی اکتسابی علیه آنتی‌زن‌ها دارد. برخلاف یک ترکیب محرك ایمنی، یک ادجوانات باید در مخلوط کامل با یک آنتی‌زن تزریق شود تا اثر مفید خود را در افزایش پاسخ ایمنی خاص در برابر یک آنتی‌زن تنها زمانی که پاسخ‌های ایمنی خاص تشکیل می‌شود، اعمال کند (۲۰). به همین دلیل، مشابه آزمایش‌های ذکر شده در بالا، لیپوزم اسید گلایسریزیک در مخلوطی با شکل کشته شده سالمونولا تیفی موریوم تجویز شد.

نتایج پیشین نشان داد که لیپوزوم‌های گلایسریزیک اسید به‌طور قابل توجهی تیتر آنتی‌بادی از کلاس‌های IgG و IgM را در مرغ‌های واکسینه شده با واکسن نیوکاسل افزایش داده است (۱۰). آلوم نیز یکی از ادجوانات‌های معروف است که ایمنی‌زایی و تولید آنتی‌بادی را به دنبال استفاده از شکل کشته شده پاتوژن‌ها افزایش می‌دهد (۱۷، ۱۸). براساس یافته‌های حاضر، هر دو ادجوانات‌های آلوم و لیپوزوم‌های گلایسریزیک اسید در افزایش آنتی‌بادی‌های خنثی کننده علیه سالمونولا تیفی موریوم موفق بودند. علاوه بر این، ترکیب این دو عامل منجر به اثر همافرازی در تولید آنتی‌بادی‌های خنثی کننده علیه سالمونولا تیفی موریوم شد.

بسته به نوع سایتوکائین‌های تولید شده توسط APC‌ها، لنفوسيت‌های T در جهات مختلف پلاریزه می‌شوند و عملکردهای متفاوتی را به عهده می‌گیرند γ-IFN-IL-4. به‌عنوان سایتوکائین اصلی پاسخ‌های Th1 در نظر گرفته می‌شود (۲۲). از سوی دیگر، IL-4 به‌عنوان سایتوکائین اصلی Th2 محسوب می‌شود (۲۳، ۲۲). مطمئناً ریزمحیط ایجاد شده توسط ادجوانات‌ها در پلاریزه کردن پاسخ Th2 ایمنی مؤثر است. نقش آلوم در پلاریزه کردن پاسخ‌ها به سمت Th2 کاملاً شناخته شده است (۲۰). همان‌طور که ذکر شد بر عکس آلوم، سلول‌های دندان‌ریتیک تیمار شده با گلایسریزیک اسید قادر به

که اثرات ترکیب آلوم و لیپوزم گلایسریزیک اسید را به عنوان یک عنوان ادجوانی در واکسن حاصل از شکل کشته شده یک باکتری ارزیابی نموده است. بنابراین، مطالعات بعدی برای تأیید این نتایج و همین تأیید قابلیت کاربردی ترکیب آلوم و لیپوزم گلایسریزیک اسید در صورت ترکیب با واکسن‌های علیه سایر میکروارگانیسم‌هایی که نیاز به پاسخ‌های ایمنی هومورال و سلوالی دارند، مورد نیاز است. همچنین برای نتیجه بخشی بهتر، می‌توان از روش‌های به دام اندازی آنتیزن خالص در داخل لیپوزوم نیز در پژوهش‌های آینده استفاده نمود.

تشکر و قدردانی

نویسنگان از دانشگاه ارومیه جهت حمایت مالی و تجهیزات، همچنین از جانب آقای اصغر علیاری کارشناس محترم آزمایشگاه ایمنی شناسی دانشکده دامپزشکی دانشگاه ارومیه کمال تشکر و قدردانی را دارند.

بیشترین درصد بقا پس از به چالش کشیدن سلول‌ها با باکتری‌های زنده متعلق به گروه دریافت‌کننده واکسن و ادجوان ترکیبی بود و پس از آن موش‌های دریافت‌کننده HKST و لیپوزم گلایسریزیک اسید، موش‌هایی که HKST و آلوم دریافت کردند و درنهایت موش‌هایی که فقط HSKT دریافت کردند، قرار گرفتند. همان‌طور که انتظار می‌رفت، گروهی که کمترین درصد بقا را داشتند، گروهی بودند که هیچ واکسنی دریافت نکردند.

به طور کلی، ترکیب آلوم و لیپوزم گلایسریزیک اسید به عنوان یک ادجوانی در ارتباط با واکسن HKST می‌تواند ایمنی سلوالی و هومورال را ایجاد کند و پاسخ ایمنی را به سمت Th1 تغییر دهد. بنابراین، این ترکیب ممکن است ابزارهای جدید و ایمن را برای تقویت پاسخ‌های ایمنی سلوالی ناشی از واکسن در برابر میکروب‌ها و سرطان‌های مختلف آماده کند. علاوه بر این، نتایج حاضر نشان داد که تجویز لیپوزم گلایسریزیک اسید، حتی بدون آلوم، همراه با واکسن HKST باعث افزایش ایمنی سلوالی می‌شود. بر اساس اطلاعات نویسندها پژوهش حاضر، این مطالعه اولین تحقیقی است

References:

- Andre FE, Booy R, Bock HL, Clemens J, Datta SK, John TJ, et al. Vaccination greatly reduces disease, disability, death and inequity worldwide. *Bull World Health Organ* 2008;86(2):140-6. <https://doi.org/10.2471/BLT.07.040089>
- Reed SG, Bertholet S, Coler RN, Friede M. New horizons in adjuvants for vaccine development. *Trends Immunol* 2009;30(1):23-32. <https://doi.org/10.1016/j.it.2008.09.006>
- Mazloomi E, Jazani NH, Shahabi S. A novel adjuvant, mixture of alum and the beta-adrenergic receptor antagonist propranolol, elicits both humoral and cellular immune responses for heat-killed *Salmonella typhimurium* vaccine. *Vaccine* 2012;30(16):2640-6. <https://doi.org/10.1016/j.vaccine.2012.02.017>
- Takaya A, Yamamoto T, Tokoyoda K. Humoral immunity vs. *Salmonella*. *Front Immunol* 2020; 10: 3155. <https://doi.org/10.3389/fimmu.2019.03155>
- Eneslått K, Golovliov I, Rydén P, Sjöstedt A. Vaccine-mediated mechanisms controlling replication of *Francisella tularensis* in human peripheral blood mononuclear cells using a co-culture system. *Front Cell Infect Microbiol* 2018;8:27. <https://doi.org/10.3389/fcimb.2018.00027>
- Chan J, Mehta S, Bharrhan S, Chen Y, Achkar JM, Casadevall A, et al., editors. *The role of B cells and humoral immunity in Mycobacterium tuberculosis infection*. *Cell Infect* 2014: Elsevier. <https://doi.org/10.1016/j.smim.2014.10.005>
- Bastola R, Noh G, Keum T, Bashyal S, Seo J-E, Choi J, et al. Vaccine adjuvants: smart components to boost the immune system. *Arch Pharm Res* 2017;40(11):1238-48. <https://doi.org/10.1007/s12272-017-0969-z>
- Burakova Y, Madera R, McVey S, Schlup JR, Shi J. Adjuvants for animal vaccines. *Viral Immunol* 2018;31(1):11-22. <https://doi.org/10.1089/vim.2017.0049>
- Ye Y, Chen F, Sun H, Li X, Xu S. Stemucronatoside K, a novel C21 steroidal glycoside from *Stephanotis mucronata*, inhibited the cellular and humoral immune response in mice. *Int Immunopharmacol* 2008;8(9):1231-8.

- <https://doi.org/10.1016/j.intimp.2008.04.014>
10. Zhao X, Fan Y, Wang D, Hu Y, Guo L, Ruan S, et al. Immunological adjuvant efficacy of glycyrrhetic acid liposome against Newcastle disease vaccine. *Vaccine* 2011;29(52):9611-7.
<https://doi.org/10.1016/j.vaccine.2011.10.053>
11. Abe N, Ebina T, Ishida N. Interferon induction by glycyrrhizin and glycyrrhetic acid in mice. *Microbiol Immunol* 1982;26(6):535-9.
<https://doi.org/10.1111/j.1348-0421.1982.tb00207.x>
12. Gløgård C, Stensrud G, Hovland R, Fossheim SL, Klavenness J. Liposomes as carriers of amphiphilic gadolinium chelates: the effect of membrane composition on incorporation efficacy and in vitro relaxivity. *Int J Pharm* 2002;233(1-2):131-40.
[https://doi.org/10.1016/S0378-5173\(01\)00935-8](https://doi.org/10.1016/S0378-5173(01)00935-8)
13. Gregoriadis G, Gursel I, Gursel M, McCormack B. Liposomes as immunological adjuvants and vaccine carriers. *J Control Release* 1996;41(1-2):49-56. [https://doi.org/10.1016/0168-3659\(96\)01355-7](https://doi.org/10.1016/0168-3659(96)01355-7)
14. Perrie Y, Crofts F, Devitt A, Griffiths HR, Kastner E, Nadella V. Designing liposomal adjuvants for the next generation of vaccines. *Adv Drug Deliv Rev* 2016;99:85-96.
<https://doi.org/10.1016/j.addr.2015.11.005>
15. Gregoriadis G. Immunological adjuvants: a role for liposomes. *Immunol Today* 1990;11(3):89-97
[https://doi.org/10.1016/0167-5699\(90\)90034-7](https://doi.org/10.1016/0167-5699(90)90034-7)
16. Mohammadi A, Abtahi Froushani SM, Delirezh N, Ownagh A. Alum and metoclopramide synergistically enhance cellular and humoral immunity after immunization with heat-killed *Salmonella typhimurium* vaccine. *Int Immunopharmacol* 2021;101(Pt A):108185
<https://doi.org/10.1016/j.intimp.2021.108185>
17. Jazani NH, Parsania S, Sohrabpour M, Mazloomi E, Karimzad M, Shahabi S. Naloxone and alum synergistically augment adjuvant activities of each other in a mouse vaccine model of *Salmonella typhimurium* infection. *Immunobiology* 2011;216(6):744-51.
<https://doi.org/10.1016/j.imbio.2010.10.005>
18. Ghimire TR. The mechanisms of action of vaccines containing aluminum adjuvants: an in vitro vs in vivo paradigm. *Springerplus* 2015;4(1):1-18.
<https://doi.org/10.1186/s40064-015-0972-0>
19. Abtahi Froushani SM, Delirezh N, Hobbenaghi R, Mosayebi G. Synergistic effects of atorvastatin and all-trans retinoic acid in ameliorating animal model of multiple sclerosis. *Immunol Invest* 2014;43(1):54-68.
<https://doi.org/10.3109/08820139.2013.825269>
20. Golbahari S, Froushani SMA. Synergistic benefits of nicotine and thymol in alleviating experimental rheumatoid arthritis. *Life Sci* 2019;239:117037.
<https://doi.org/10.1016/j.lfs.2019.117037>
21. Kool M, Fierens K, Lambrecht BN. Alum adjuvant: some of the tricks of the oldest adjuvant. *Int J Med Microbiol* 2012;61(7):927-34.
<https://doi.org/10.1099/jmm.0.038943-0>
22. Harte C, Gorman AL, McCluskey S, Cartt M, Bowie AG, Scott C, et al. Alum activates the bovine NLRP3 inflammasome. *Front Immunol* 2017;8:1494.
<https://doi.org/10.3389/fimmu.2017.01494>
23. Shushtari N, Froushani SMA. Caffeine augments the instruction of anti-inflammatory macrophages by the conditioned medium of mesenchymal stem cells. *Cell J (Yakhteh)* 2017;19(3):415.
24. Orecchioni M, Ghosheh Y, Pramod AB, Ley K. Macrophage polarization: different gene signatures in M1 (LPS+) vs. classically and M2 (LPS-) vs. alternatively activated macrophages. *Front Immunol* 2019;10:1084.
<https://doi.org/10.3389/fimmu.2019.01084>
25. Richard SA. Exploring the pivotal immunomodulatory and anti-inflammatory potentials of glycyrrhizic and glycyrrhetic acids.

- Mediators Inflamm 2021;2021.
<https://doi.org/10.1155/2021/6699560>
26. Froushani SMA, Galeh HEG. New insight into the immunomodulatory mechanisms of Tretinoin in NMRI mice. Iran J Basic Med Sci 2014;17(9):632.
27. Muraille E, Leo O, Moser M. TH1/TH2 paradigm extended: macrophage polarization as an unappreciated pathogen-driven escape mechanism? Front Immunol 2014;5:603.
<https://doi.org/10.3389/fimmu.2014.00603>
28. Moriyama M, Nakamura S. Th1/Th2 immune balance and other T helper subsets in IgG4-related disease. Curr Top Microbiol Immunol 2017;401:75-83.
https://doi.org/10.1007/82_2016_40
29. Cêtre C, Pierrot C, Cocude C, Lafitte S, Capron A, Capron M, et al. Profiles of Th1 and Th2 cytokines after primary and secondary infection by Schistosoma mansoni in the semipermissive rat host. Infect Immun 1999;67(6):2713-9.
<https://doi.org/10.1128/IAI.67.6.2713-2719.1999>

THE SYNERGISM OF THE COMBINED GLYCYRRHIZIC ACID AND ALUM LIPOSOME ON IMMUNE RESPONSES AGAINST THE KILLED FORM OF *SALMONELLA TYPHIMURIUM*

Zahra Zeinali¹, Seyyed Meysam Abtahi Froushani^{2*}, Abdolghafar Ownagh³, Asghar Zamani⁴

Received: 07 May, 2023; Accepted: 15 August, 2023

Abstract

Background & Aims: The killed preparation of microorganisms in combination with alum does not generally produce strong cellular immune responses. Glycyrrhizic acid is a triterpenoid saponin with immunomodulating properties. The present study was conducted to investigate the synergism of glycyrrhizic acid (GL) and alum liposome on immune responses against the killed form of *Salmonella Typhimurium* (HKST).

Materials & Methods: In this experimental study, male Balb/c mice in 5 groups of 15 were immunized with HKST vaccine alone or in combination with alum, GL or alum-GL combination twice with two weeks' interval. Fourteen days after the last vaccination, the immune responses against *Salmonella Typhimurium* and the protective potential of the vaccines were evaluated. Survival rate was monitored by Kaplan-Meier analysis. Other findings were analyzed using one-way analysis of variance and Tukey's post hoc test. A level of P<0.05 was considered significant.

Results: Delayed type hypersensitivity reaction, lymphocyte proliferation, IgG2a antibody titer and the rate of improvement of survival against challenge with live were significantly increased in the group receiving combined adjuvant and HKST compared to other groups. In the group receiving combined adjuvant, the level of IFN- γ significantly increased and IL-4 significantly decreased more profound than other groups.

Conclusion: Alum-GL combination as an adjuvant synergistically increased cellular and humoral immunity after immunization with the HKST vaccine.

Keywords: Adjuvant, Alum, Glycyrrhizic Acid Liposome, *Salmonella typhimurium*, Vaccine

Address: Department of microbiology, Faculty of Veterinary Medicine, Urmia University, Urmia, Iran, Postal Code:571531177

Tel: +989133000470

Email: sm.abtahi@urmia.ac.ir

SOURCE: STUD MED SCI 2023; 34(6): 320 ISSN: 2717-008X

This is an open-access article distributed under the terms of the [Creative Commons Attribution-noncommercial 4.0 International License](#) which permits copy and redistribute the material just in noncommercial usages, as long as the original work is properly cited.

¹ Ph.D Candidate, Department of Microbiology, Faculty of Veterinary Medicine, Urmia University, Urmia, Iran

² Associate Professor of Immunology, Department of Microbiology, Faculty of Veterinary Medicine, Urmia University, Urmia, Iran

³ Professor of Microbiology, Department of Microbiology, Faculty of Veterinary Medicine, Urmia University, Urmia, Iran

⁴ Assistant Professor of Chemistry, Department of Nanotechnology, Faculty of Chemistry, Urmia University, Urmia, Iran